

А.П.Васильев, А.С.Павлов

## УДАРНОЕ ПОВЫШЕНИЕ ДАВЛЕНИЯ ПРИ СХЛОПЫВАНИИ ИЗОТЕРМИЧЕСКОГО КАВИТАЦИОННОГО ПУЗЫРЬКА В ВЯЗКОЙ ЖИДКОСТИ.

**Рассматривается динамика кавитационного пузырька в вязкой изотермической жидкости под воздействием сил поверхностного натяжения, давления, инерции и вязкого трения. Получены расчетные соотношения для ударного повышения давления в жидкости, из которых следует, что в начальный момент времени на фронте ударной волны достигается давление более 3000 атм.**

**Уравнения динамики вязкой жидкости интегрировались численно методом Рунге-Кутта. Приводится сравнение результатов расчета с классической формулой Рэлея для времени схлопывания сферической полости в идеальной жидкости. Библ. 5, рис. 4.**

Явление кавитации вот уже более ста лет привлекает неослабевающий интерес инженеров различных отраслей техники. С одной стороны, это связано со сложным характером физико-гидродинамических процессов, сопровождающих кавитацию, а с другой, - потребностью конструкторов в рациональном проектировании гидрооборудования [1]. В частности, особый интерес представляет защита элементов проточной части гидроагрегатов от кавитационной эрозии, а также различных кавитирующих поверхностей, например, гребных винтов.

Механизм кавитационной эрозии в настоящее время объясняют образованием в месте схлопнувшегося пузырька некоторого макрообъема, в котором в результате гидравлического удара кинетическая энергия жидкости перешла в упругую потенциальную энергию. Возникшая из-за этого неравновесная структура порождает ударную волну, взаимодействие которой с элементами конструкции гидроагрегата и приводит к выщербливанию металла, т.е. кавитационной эрозии [2].

Центральным вопросом в этой схеме кавитационной эрозии является определение ударного давления в жидкости в момент исчезновения парового пузырька.

Необходимо отметить, что гидродинамическая задача о схлопывании пузырька пара неоднократно рассматривалась различными авторами в рамках тех или иных допущений [3]. Классическим результатом в этой проблеме считается уравнение Рэлея и его решение для схлопывающейся в идеальной жидкости сферической полости:

$$T = \frac{1}{3} \sqrt{\frac{3 \rho_1}{2 \Delta p}} a_0 B\left(\frac{5}{6}, \frac{1}{2}\right), \quad (1)$$

где  $T$ - время схлопывания сферической по-

лости,  $\rho_1$  – плотность жидкости,  $\Delta p$ - неравновесный перепад давлений,  $a_0$ - начальный радиус сферы,  $B(x,y)$ -бета – функция.

Представляет интерес, с целью расчета ударного давления, исследование динамики кавитационного пузырька с учетом всех сил, обуславливающих его схлопывание.

Для решения указанной задачи считаем пузырек сферическим в процессе схлопывания, а поле скоростей в окружающей жидкости сферически-симметричным [4].

Течение невесомой изотермической несжимаемой жидкости описывается обычными уравнениями неразрывности и импульсов:

$$\nabla \cdot (\rho_1 \vec{v}_1) = 0, \quad (2)$$

$$\frac{\partial \vec{v}_1}{\partial t} + (\vec{v}_1 \cdot \nabla) \vec{v}_1 = -\frac{1}{\rho_1} \nabla p_1 + v_1 \nabla^2 \vec{v}_1, \quad (3)$$

Пар в пузырьке считается покоящимся, давление в котором однозначно определяется температурой по уравнению Клапейрона-Клаузиуса с учетом поправки на кривизну межфазной границы [5], причем теплота конденсации пара не меняет температуру жидкости.

Разместив сферическую систему координат  $\{r, J, j\}$  в центре пузырька и принимая во внимание одномерность сферически-симметричного поля скоростей жидкости  $u_r(t, r)$ , уравнения (2) и (3) преобразуем к виду:

$$\frac{\partial}{\partial r} \left( r^2 v_r \right) = 0,$$

$$\frac{\partial v_r}{\partial t} + v_r \frac{\partial v_r}{\partial r} = -\frac{1}{\rho_1} \frac{\partial p_1}{\partial r} + v_1 \left( \frac{1}{r^2} \frac{\partial}{\partial r} \left( r^2 \frac{\partial v_r}{\partial r} \right) - \frac{2}{r^2} v_r \right).$$

Из уравнения неразрывности следует, что  $r^2 u_r = \text{const} = a^2 u_{1a}$ , где  $a$ -радиус пузырька,  $u_{1a}$  - скорость жидкости на межфазной границе, поэтому поле скоростей в жидкой фазе имеет вид:

$$v_r(r,t) = v_{la}(t) \frac{a^2}{r^2} = \frac{A(t)}{r^2} \quad (4)$$

Подставляя (4) в уравнение Навье-Стокса и интегрируя его по радиусу, получим распределение давления по жидкой фазе вокруг пузырька:

$$\frac{p_1}{\rho_1} = C + \frac{\partial}{\partial t} (a^2 v_{la}) \frac{1}{r} - \frac{1}{2} a^4 v_{la}^2 \frac{1}{r^4}. \quad (5)$$

Для нахождения постоянной интегрирования обратимся к граничным условиям на поверхности пузырька и на бесконечности [4]:

$$r=a: \quad v_a = \frac{da}{dt}, \quad \sigma_{2a}^{rr} - \sigma_{la}^{rr} = -2 \frac{\Sigma}{a},$$

$$\rho_1(v_a - v_{la}) = \rho_{2a}(v_a - v_{2a}) = j; \quad (6)$$

$$r=\infty: \quad v_1 = 0, \quad p_1 = p_\infty. \quad (7)$$

Здесь  $\sigma_{la}^{rr}$  и  $\sigma_{2a}^{rr}$ - нормальные напряжения на межфазной границе в жидкой и паровой фазах соответственно,  $\Sigma$ - коэффициент поверхностного натяжения,  $v_a$ - скорость межфазной границы,  $v_{2a}$ - скорость пара на межфазной границе  $r_1=r_{la}$  и  $r_2=r_{2a}$ - плотности жидкой и паровой фаз на межфазной границе,  $S$ - коэффициент поверхностного натяжения жидкой пленки.

Для нормальных компонент тензора поверхностных напряжений в соответствии с принятой моделью пара и жидкости можно записать:

$$\sigma_{2a}^{rr} = -p_{2a} = -p_2(T) = \text{const},$$

$$\sigma_{la}^{rr} = -p_{la} + 2\mu_1 \left( \frac{\partial v_{la}}{\partial r} \right)_{r=a} = -p_{la} - 4\mu_1 \frac{v_{la}}{a}$$

С учетом этих выражений и условий (6) и (7) из интеграла (5) получим

$$\frac{p_2 - p_\infty}{\rho_1} = \frac{\partial}{\partial t} (a^2 v_{la}) \frac{1}{a} - \frac{1}{2} v_{la}^2 + 2 \frac{\Sigma}{\rho_1 a} + 4\mu_1 \frac{v_{la}}{a} \quad (8)$$

При равновесии пузырька пара в своей жидкости всегда существует равновесный радиус, определяемый условием равенства сил:

$$\frac{p_2 - p_{0,\infty}}{\rho_1} = 2 \frac{\Sigma}{\rho_1 a_0}$$

Схлопывание пузырька начинается, когда во внешней среде появляется избыток статического давления  $\delta p$ , который удобно выразить через скачок давления на межфазной границе

$$\frac{p_2 - p_\infty}{\rho_1} = \frac{p_{2a} - p_{0,\infty}}{\rho_1} - \frac{\delta p_\infty}{\rho_1} =$$

$$= 2 \frac{\Sigma}{\rho_1 a_0} - 2k \frac{\Sigma}{\rho_1 a_0} = 2(k-1) \frac{\Sigma}{\rho_1 a_0}$$

где  $k$ -параметр возмущения давления,

в дальнейшем  $k=\text{const}$ .

Считаем, что массовый поток пара в жидкость обусловлен только его конденсацией на движущейся межфазной границе, тогда  $j/r_1 = b v_a$ , где  $b=p_2/(r_1 R_m T)$ ,  $T$ -температура пара,  $R_m$ -удельная газовая постоянная,  $p_{2a}=p_2(T)=\text{const}$ .

Заменяя в уравнении (8)  $v_{la}=v_a$ ,  $j/r_1=v_a(1-b)$ , приведем это уравнение к виду:

$$\frac{d^2 a}{dt^2} = -\frac{\frac{3}{2} - \beta - \frac{\beta^2}{2}}{1-\beta} \left( \frac{da}{dt} \right)^2 \frac{1}{a(t)} - 4v_1 \left( \frac{da}{dt} \right) \frac{1}{a^2(t)} -$$

$$- 2 \frac{\Sigma}{\rho_1 a^2(t) 1-\beta} - 2(k-1) \frac{\Sigma}{\rho_1 a(t) a_0} \frac{1}{1-\beta}. \quad (9)$$

Из этого уравнения при  $b=n_1=0$  следует как частный случай уравнение Рэлея [3].

Если давление в паре  $p_2 < p_{kp}$ -критического, то количеством движения за счет конденсации пара можно пренебречь в силу малости величины  $b$ . Обычно эти условия имеют место во всасывающих патрубках насосов.

Уравнение (9) в силу его нелинейности может быть проинтегрировано численно, в частных случаях оно допускает аналитические решения, подобно решению Рэлея (1).

Задача Коши уравнения (9) может быть сформулирована так:

$$t=0, \quad a(0)=a_0, \quad \frac{da}{dt} = v_a = 0, \quad (10)$$

т.е. схлопывание пузырька начинается из состояния покоя.

Ниже представлены результаты численного исследования динамики кавитационного пузырька. Интегрирование уравнения (9) проводилось методом Рунге-Кутта пятого порядка точности.

На рис.1 показаны графики зависимости времени схлопывающегося пузырька от текущего радиуса для различных значений параметра возмущения давления  $k=\{10, 50, 100\}$ .

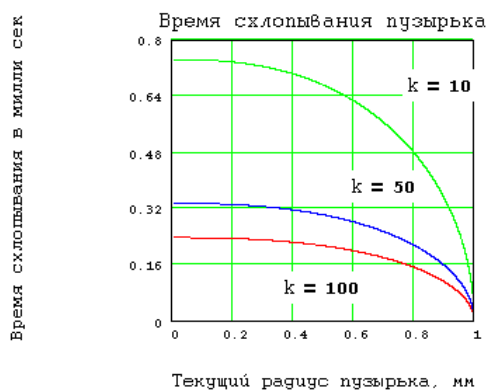


Рис. 1. Зависимость времени (мс) схлопывания парового пузырька от радиуса (мм) для раз-

личных значений параметра  $k$  внешнего возмущающего давления.

Пересечение графиков с осью абсцисс дает полное время схлопывания пузырька, чем больше возмущающее давление, тем меньше время схлопывания пузырька. Если при  $k=10$  (давление 1,5 Па) время схлопывания составляет 0,75 мс, то при  $k=100$  (давление 15 Па) оно снижается до 0,24 мс. Начальный радиус пузырька принимался равным 1 мм, а параметры воды и водяного пара соответствовали температуре 20°C. Необходимо отметить, что формула Рэлея (1) дает очень близкие значение времени схлопывания лишь при  $k>>1$ , но уже при  $k \approx 1$  расхождения начинает нарастать и при  $k=0.1$  составляет более 20%.

На рис.2 приведены графики зависимости скорости межфазной границы от текущего значения радиуса схлопывающегося пузырька для различных значений параметра

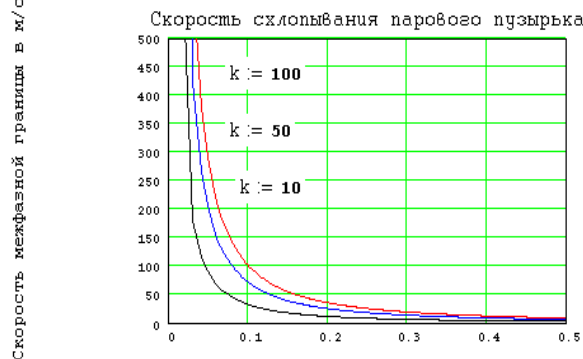


Рис.2. Зависимость скорости (м/с) схлопывания парового пузырька от текущего радиуса (мм) для различных значений параметра возмущения  $k$ .

Рисунок показывает, что весь процесс схлопывания пузырька условно можно разбить на две стадии: первая стадия  $0,2a_0Ja(t)$  характеризуется тем, что скорость межфазной границы при любом  $k$  почти линейно нарастает с уменьшением радиуса пузырька. На второй стадии  $0Ja(t)J0,2a_0$  скорость начинает очень резко нарастать, достигая значений ~сотен и более метров в секунду.

При численном интегрировании именно этот участок приходилось проходить с очень мелким шагом по времени. Формально в точке  $a=0$  нарушаются условия существования и единственности решения (в этой точке правая часть уравнения (9) становится неограниченной), в связи с этим интегрирование заканчивалось не в нуле, а в точке  $a_0/2*10^4$ .

Такой подход имеет и термодинамическое обоснование [5]. Известно, что обратный процесс – образование и рост пузырей в насыщенной жидкости – происходит не с нулевого радиуса, а с некоторого критического, равного размеру зародыша будущего пузырька. Для всех меньших радиусов двухфазная система яв-

ляется термодинамически неустойчивой, поэтому наименьшим радиусом схлопывающегося пузырька следует считать не нулевой радиус, а критический.

При таком подходе были получены следующие значения скоростей схлопывания в момент исчезновения пузырька:  $u_a = \{88; 2294; 7622; 15911\}$  м/с соответственно при  $k = \{0,1; 10; 50; 100\}$ .

При таких велинах течение жидкости становится сверхзвуковым и модель несжимаемой жидкости перестает перестает адекватно описывать реальный физический процесс.

На рис.3 приведены графики зависимости величины  $a^2 u_a = A$  из уравнения неразрывности от текущего радиуса.

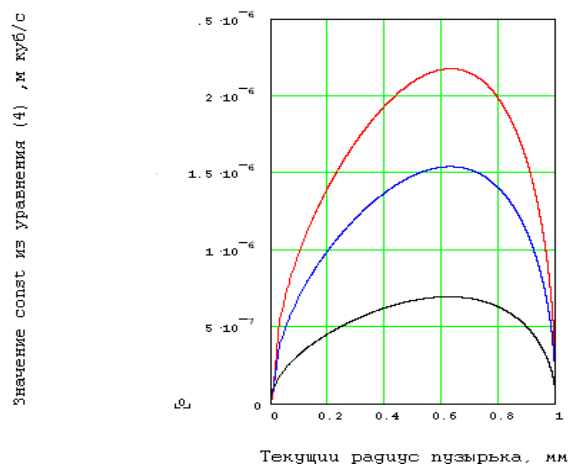


Рис.3.

Зависимость величины  $A$  ( $\text{м}^3/\text{с}$ ) от радиуса пузырька (мм) для различных параметров  $k$ .

При  $a=0$  и  $a=a_0$  это произведение обращается в ноль. Поскольку величина  $A$  определяет поле скоростей в окружающей жидкости, то вместе с  $A$  на границах интервала обратиться в ноль и скорость в жидкой фазе. Экстремальный характер зависимости  $A(a)$  показывает наличие максимума скорости в окружающей жидкости, в каждой её точке:

$$v_{\max}(r,t) = \frac{v_a a_*^2}{r^2} = \frac{A_*}{r^2}$$

Кинетическая энергия жидкости при этой скорости также достигает наибольшего значения:

$$(E_{\text{кин}})_{\max} = \int_0^{a_0} \int_0^{\pi/2} \int_0^{\infty} \frac{1}{2} \rho_1 v_{\max}^2 d\phi d\theta dr = \pi \rho_1 v_{\max}^2 a_*^2$$

После схлопывания пузырька кинетическая

энергия также становится равной нулю, однако, по закону сохранения энергии бесследно она не исчезает, а в результате гидравлического удара преобразуется в упругую энергию некоторого макрообъёма жидкости. Для оценки ударного повышения давления можно считать, что этим макрообъёмом является сфера  $V_* = (4/3)\pi a_*^3$ . Закон Гука для изотермической сжимаемости позволяет рассчитать упругую потенциальную энергию:

$$E_{\text{пот}} = \frac{1}{2} \chi V_* P_{\max}^2,$$

где  $\chi$ -изотермический коэффициент сжимаемости,  $\chi=1/E$ ,  $E$ -объёмный модуль упругости жидкости,  $P_{\max}$ -ударное повышение давления.

Приравнивая эти энергии, получаем нижнюю границу оценки ударного повышения давления:

$$P_{\max} = \sqrt{\frac{3 \rho_1 A_*^2}{2 \chi a_*^5}} \quad (11)$$

Например, для пузырька с начальным радиусом  $a_0=1$  мм, схлопывающегося при  $k=50$ , величина  $A_* = 1,5 \cdot 10^{-6}$  м<sup>3</sup>/с (рис. 3),  $a_*=0,6$  мм,  $\rho_1=1000$  кг/м<sup>3</sup>,  $E=2,25 \cdot 10^9$  1/Па, и расчет по формуле (11) дает следующее значение ударного давления:  $P_{\max} = 3,12 \cdot 10^8$  Па= 3120 атм.

Возникшая в результате гидравлического удара неравновесная структура порождает ударную волну, давление на фронте которой убывает по закону:

$$P_{\text{уд}}(r) = P_{\max} \frac{a_*^2}{r^2}.$$

Уже на расстоянии  $10a_*$  от центра исчезнувшего пузырька давление на фронте резко снижается до 3 атм и становится безопасным с точки зрения кавитационной эрозии. Таким образом, наибольшим разрушающим воздействием обладают пузырьки, схлопывающиеся вблизи от кавитирующей поверхности.

Оценку ударного повышения давления при схлопывании кавитационного пузырька можно провести и на основе закона сохранения импульса. Действительно, в момент исчезновения пузырька выделим вокруг начала координат сферу с малым радиусом  $r$ . Внутри этой сферы жидкость покоятся и давление в ней равно  $D_{\text{уд}}$ . Этую сферу окружает сферический слой толщиной  $Dr$  с движущейся жидкостью и количеством движения  $K_1 = 4\pi r^2 \rho_1 Dru_1(r)$ . Через время  $Dt$ -время прохождения волной расстояния  $Dr$ -это количество движения будет равно нулю  $K_2=0$ . Импульс сил давления, действующих по внутренней поверхности сферического слоя за это время составит  $DP = 4\pi r^2 D_{\text{уд}} Dt$ . Приравнивая импульс силы изменению количества движения и учитывая, что  $c=Dr/Dt$ , для ударного повышения давления получим известную формулу Жуковского:  $D_{\text{уд}}(r)=\rho_1 c u_1(r)$ . Заменяя здесь скорость по уравнению неразрывности, получим

$$\Delta P_{\text{уд}}(r) = \frac{v_a a^2}{r^2} \sqrt{\frac{\rho_1}{\chi}} = \frac{A(a)}{r^2} \sqrt{\frac{\rho_1}{\chi}}.$$

Приняв допущение ,что

$$\lim \frac{a^2}{r^2} = 1,$$

для верхней границы оценки ударного повышения давления получим:

$$(\Delta P_{\text{уд}})_{\max} = (v_a)_{\max} \sqrt{\frac{\rho_1}{\chi}}. \quad (12)$$

Так для пузырька, схлопывающегося при  $k=50$ , максимальная скорость составляет  $v_{\max}=7622$  м/с, и эта формула приводит к такому значению ударного давления  $(\Delta P_{\text{уд}})_{\max}=1,14 \cdot 10^{10}$  Па=114000 атм.

Столь значительные расхождения в результатах по формулам (11) и (12) говорят о неполноте чисто гидродинамического описания процесса в дополнение к уже сказанному о сжимаемости жидкости. Кроме того, в формуле (12) отсутствует характерный размер области с начальным ударным давлением, поэтому ничего нельзя сказать о давлении на фронте волны, в отличие от формулы (11).

На рис.4 показаны графики зависимости всех сил, входящих в правую часть уравнения (9), от текущего радиуса пузырька.

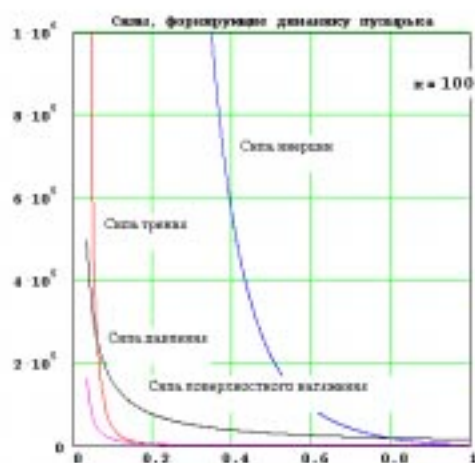


Рис.4. Зависимость сил (Н/кг) правой части уравнения (9) от радиуса пузырька (мм).

Данные графики говорят о том, что на различных стадиях процесса вклад сил различной физической природы неодинаков.

Так, из всех сил доминирующей является сила инерции присоединенных масс  $(3/2)u_a^2/a$ , Н/кг.

На первой стадии схлопывания пузырька все другие силы – вязкого трения, поверхностного

натяжения и давления- много меньше силы инерции и плавно нарастают, благодаря увеличению скорости и уменьшению радиуса пузырька

На второй стадии начинает резко нарастать сила вязкого трения, пропорциональная скорости межфазной границы, а также в меньшей степени и сила поверхностного натяжения. Возможно, что из-за диссипации энергии происходит разогрев поверхностного слоя жидкости, что вызывает интенсивное испарение воды в пузырек и происходит смягчение гидравлического удара на последней стадии схлопывания пузырька.

Проведенное исследование позволяет сделать вывод, что, не смотря на полученные оцен-

ки ударного повышения давления в жидкости, чисто гидродинамический подход не описывает реально протекающих процессов при схлопывании кавитационного пузырька. Полную информацию о подобном процессе можно получить в рамках совокупного описания гидродинамических, тепловых и концентрационных (массовых) полей.

---

#### **Список использованной литературы**

- 1.Кнепп Р., Дейли Д., Хэммит Ф. Кавитация. М.: Мир, 1974.
- 2.Емцев Б.Т. Техническая гидродинамика.М.: Машиностроение, 1987.-438 с.
3. Волновая динамика газо – и парожидкостных сред/ В.Е.Накоряков и др./ М.: Энергоатомиздат, 1990.-245 с.
4. Нигматулин Р.И. Динамика многофазных сред. т.1, т.2. М.: Наука, 1987.-464 и 359 с.
5. Базаров И.П. Термодинамика. М.: Высшая школа, 1976.-447 с.

**Статья поступила в редакцию 24.11.99г.**